

九州産業大学工学部 正員 石堂 稔
 正員 〇野間口 明義
 学生員 秋吉 和彦
 学生員 石丸 元

はじめに

クイの先端抵抗は静力学的には、土質係数をもとにクイを算定して $Q_p = q_p \cdot A$ から求める方法が一般に用いられる。砂地盤を対象とするとき q_p は地盤の自重とヒンゲル抵抗角とにより決まり、次式の形で表わされる。

$$q_p = K_0 \cdot \gamma \cdot D_f \cdot N_{60} \quad \dots \dots (1)$$

また地盤の状態が一定の場合、上式の q_p が D_f に比例するとは限らぬ事も知られている。

Mayerhof により与えられる複合支持力係数 N_{60} は $D_f/B > 10$ では $N_{60} = \text{CONSTANT}$, $D_f/B < 10$ では N_{60} は D_f より小さくなる事を理論的に示している。

Berezantsev 等の実験例によると、クイ長が小さくなる程 q_p は $K_0 \cdot \gamma \cdot D_f \cdot N_{60}$ より小さくなる事から自重はアーチ作用などによって、 $\gamma \cdot D_f$ よりも小さくなるという議論が成されている。

本文では、それらの傾向をもとに室内で粗砂を対象に先端抵抗可能なモデルクイを試作したものと二重管コンプレトローメータを用いて行なうた実験例について検討したものである。

1. 実験

侵入試験は $100 \times 100 \times 100$ (cm) の実験槽に、50mm 程度の厚さに乾燥した粗砂を詰め、砂の物性は $G_s = 2.644$, $C_u = 1.2$, $C_g = 0.96$, $e_{max} = 0.888$, $e_{min} = 0.54$ と三軸試験結果は Fig. (1) に示す。

実験方法

1-A 二重管コンプレトローメータによるコンニ支持力 q_c の測定

先端角度 30° , 断面積 $A = 6.3 \text{ cm}^2$ を有するコーンを用いてケーシングは外径とほぼ同じ径を使い内部のロッド頭部で先端抵抗の計を測定するもので、侵入は速度 15 mm/min 以下とする程に努め、深い方向に連続的に測定するもの。

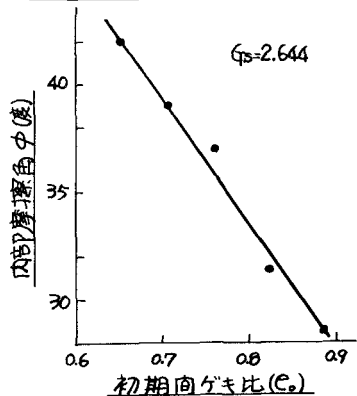
1-B. 試作モデルクイによる先端抵抗 q_p の測定

所定の深さまでケーシングでロッドのついた先端を静的に圧入し、その後内部のロッドに荷重を加えケーシングと完全に分離した状態で先端抵抗の計を測定し、載荷重はヒズミ制御方式、荷重速度 1.0 mm/min で行なう。

1-C 先端に土圧計を設置した鋼管クイによる先端抵抗の測定

クイの頭部で全反力と変位とを同時に測定し、かつ先端抵抗をヒズミ指示計で測定するもので、載荷重はヒズミ速度はすべて (1-B) 方式と同様に示す。

Fig. (1) 三軸試験による C_u と C_g の関係



2. 実験結果および考察

実験は以上の三方法によって行なうたもので(1-C)方式による先端底坑は鋼管先端に埋設した工字鉄の(2)方式が小さい事から低い密度についてのみ実測を行なうた。先端の応力集中なども考えるとロードセル等による測定が適切であると考えられるが一応の結果としてFig.(6)に示す。

2-1 二重管による ρ_c と深さ

静的コーン支持力より載圧、密度、粒度および内摩擦角により異なる

ことはすでに周知の通りであるが二つの密度について実測を行ないFig.(2)の関係を得た。

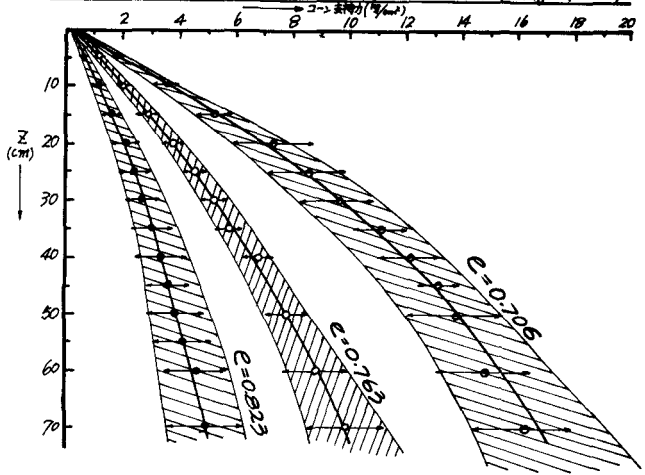
図中の矢印は任意の深さに対するコーン値の標準偏差を示したもので、ハッチングはそれらの傾向を近似的に表わしたもので、ほぼ深さが増すにつれてコーン値のバラツキが大きくなっている。

この種のバラツキは測定から生じる倉入操作の不十分も考えられるが、実験槽に砂地盤を造成するときの不均一さからも生じたものとも考えられ、室内でのモデル地盤造成の困難性を示すものである。

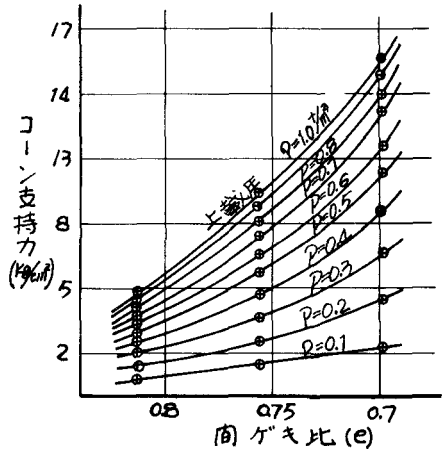
一方それらの平均的値は密度の低いもの程、直線的に分布する傾向が小さく表われており、直線部分を過ぎると、先端底坑の低減率は密度の大きいもの程大きくなる。本実験では比較的浅い実験槽を使用しているので、それ以上の深さに対する ρ_c の変化は見出すことはできないが、 ρ_c は一定値に漸近する傾向がある。実測値を上載圧について整理したものがFig.(3)で上載圧が増すにつれて ρ_c の変化の割合が一定に近づく事がわかる。この事は上載圧が1.0倍の ρ_c に対する任意の深さの ρ_c の比を求め、その比が等しくなる深さを求めると、密度の高くなるもの程、浅い部分で得られ、先端の傾向を知る事ができる。

これらの実測から ρ_c の近似的傾向を知る事ができる

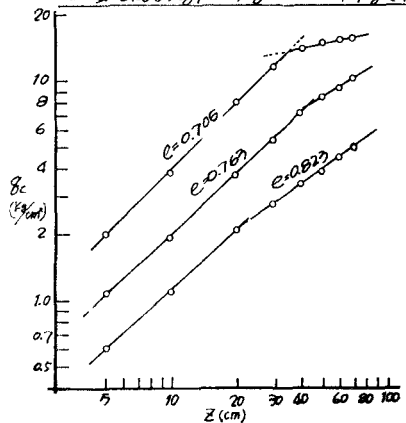
二重管コーン penetrometer による ρ_c と深さ(Z)との関係 Fig.(2)



コーン支持力と荷ゲキ比との関係 Fig.(3)



二重管による $\log P \sim \log Z$ の関係 Fig.(4)



がある深さで達すると z_c の値減する特異な関係の原因は
見出せないが、その関係性をマクロ的にとらえるために、
 z_c と z の関係と両対数にプロットしFig-(4)に示した。
すなわち z_c の分布は対数上では二本の直線から成り、単に
時間的影響と考えなければ

$$\left. \begin{aligned} \log z &= \log C_1 + n_1 \log z_c \\ \log z &= \log C_2 + n_2 \log z_c \end{aligned} \right\} \begin{aligned} z &= C_1 z_c^{n_1} \\ z &= C_2 z_c^{n_2} \end{aligned}$$

と示すことが出来る。この事は z_c の分布が単にある一定の
関係では成り立たない事を示している。二本の直線の交点
が z_c の変曲点を与えるものとするれば、大きな密度のもの程、
変曲点の深さが大きくなる。

2-2. モデルクイの先端抵抗の測定

直径5cm先端分錐型モデルクイを用いて、各深さに対し
て載荷を行ない、極限荷重を測定した後、続いて外部のケー
シングを静的に圧入し同じ称量方法で行なうものでFig-(5)
に測定値を示す。

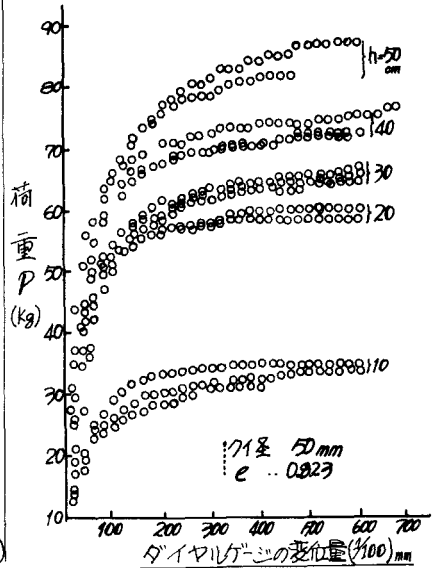
図からは明瞭なピークは見られないが、曲線は一定値に漸近する傾向に
あり、その値をも、極限荷重とした。Fig-(6)は極限荷重を断面積で
除した値を、密度について整理したものである。密度が大きい時 z_c は
ほとんど直線的に増加しているが、二重コーンの実測例から推察すれば、
ある深さで達すると、一定値に漸近する傾向にあると考えられる。

この関係を明らかにする為には非常に深い部分まで実験を必要とする。そこでKeriselはクイに関する一連の大規模な実験を行い、種々の
事実を明らかにしているが、ここで示す、比較的密度の低い実測例についても、同じ傾向を
知ることができた。

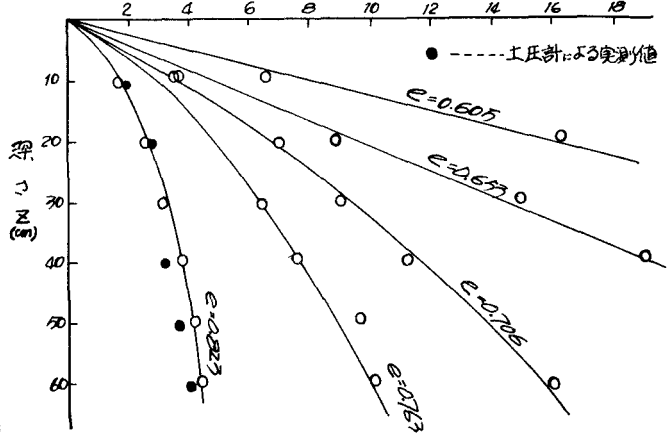
一方Terzaghi, Meyerhof, 等により与えられる N_c' を用いて先端支持力を算定する場合、根入
れ D_c に対し、 γ を一定とすると先端支持力は直線的に求められるが、実測値の傾向は深くなれば、一
定値に漸近する傾向にある。

Fig-(7)は z_c/γ の値を深さについて整理したもので、コーン径の大小についての関係は明らか
でないが、 $\gamma B (B: 径) > 10$ 以上に達すると、値の変化は顕著でなく二重管によるものと、モデルクイ
によるものとは、ほぼ同じ比率を示している。

Model pile 先端の変位と荷重 Fig-(5)



Model pile の先端分錐による極限荷重と深さの関係 Fig-(6)



3 実験結果から得られた傾向

実験から得られた ρ_c および ρ_p の深さに対する直線的分布は低い密度のもの程小さく、密度が増えるにつれて大きくなる。直線部分を過ぎると密度の低いものでも $\rho_p > 10$ 倍以上の深さへ達すると、 ρ_c , ρ_p は急減し一定値に漸近する傾向にある。また急減の割合については高い密度のもの程顕著に表われている。

この様なある深さへ達すると先端抵抗値が急減する現象は鉛直圧が土かぶり圧より小さくなるためと考えられる。すなわちこの事はコーンが墜入するとき砂はせん断応力を受けダイレイタニ現象が主として先端付近の砂を圧縮し、下方を主とする事になり、応力は塑性領域から弾性領域へと伝達され応力の再分布が生じる。

鉛直土圧はこの様なせん断応力によって生じるアーテングにより砂粒子の移動がほとんど止まり、急減される事により土かぶり圧より小さくなるものと考えられる。すなわちこの様なアーテング作用は摩擦係数により異なるもので、大きい密度のもの程そのアーテング効果は大きい。

この様な傾向は本実験から知られる事である。先に述べた ρ 値の変化率の関係から一定値と仮定した ρ に対する ρ が ρ の比をパーセントで求め、比を一定とした時の深さの関係から大きい密度のもの程急減部分で得られ、小さい密度のもの程深くなる傾向を求め、これは先述のアーテング作用により説明できる。この様な要素に起因されるアーテング作用の影響範囲がどの程度のものであるかは不明であるが、円筒の土槽の底面に円孔をあり砂が下層に移動するときの変位と鉛直圧とを測定し ρ の関係からアーテング作用がどの様なものであるかを実験を試みている。

砂の粒子が微少に移動する事はアーテング作用の挙動と密接な関係にあるアーテング領域について今後実験を進め検討するつもりである。

あとに

本文では ρ の支持力の問題として、 ρ およびモデル ρ の先端抵抗を基に検討を行ったが、今後は実物の ρ による研究もあわせて進めたい。

参考文献

コニグハートパイルハントブック

山海堂

基礎のための工項工学

工項工学会西支社 1963.3.26

鋼ゲイ

工項工学会編

山本, 王置他: 東京砂局における ρ の支持力に関する研究 (その1, その2) 第4回工項工学会

